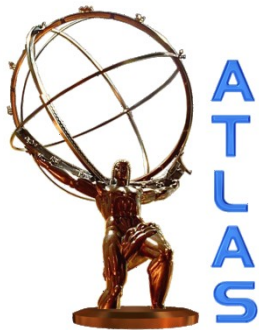
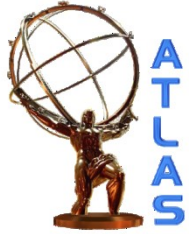


LHC-ATLAS実験におけるボトムジェット を用いたスカラートップクオークの探索

中山隆志、金谷奈央子^A、浅井祥仁、駒宮幸男
東大理、東大ICEPP^A

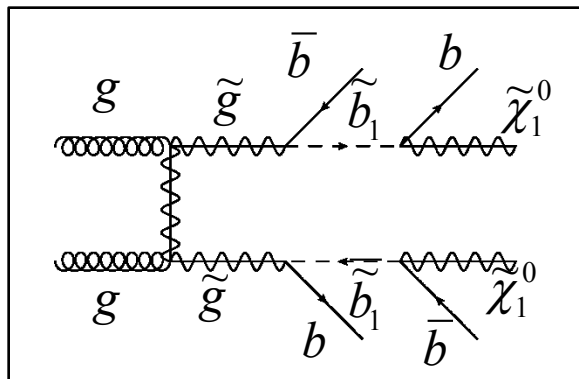




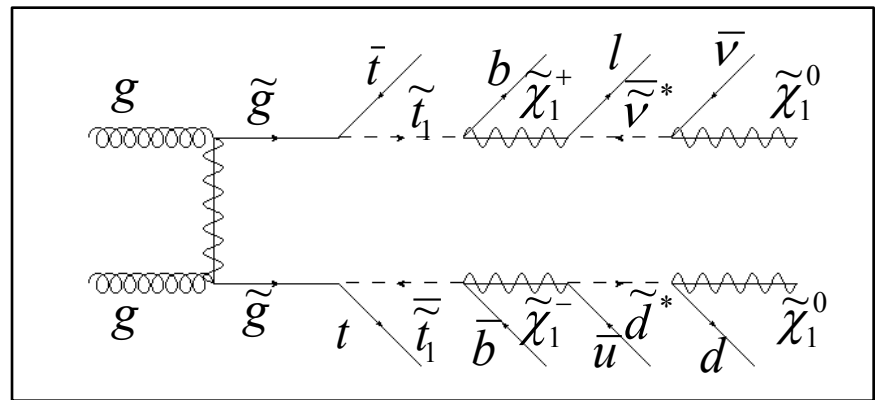
理論的背景



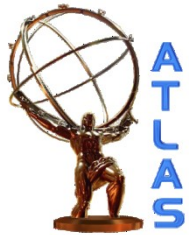
- 超対称性理論は標準理論を超えるモデルの有力候補の一つ
 - R -parityを保存するシナリオでは消失エネルギーと多数のジェット(及びレプトン)が特徴
 - 一般的に第三世代の超対称性粒子は他よりも軽く、その結果スカラートップやスカラーボトムが対生成したりグルーイーノの崩壊から生じやすくなる
→ 終状態に b -jetを持つ



$\sim g \rightarrow b + \sim b_1$ decay diagram



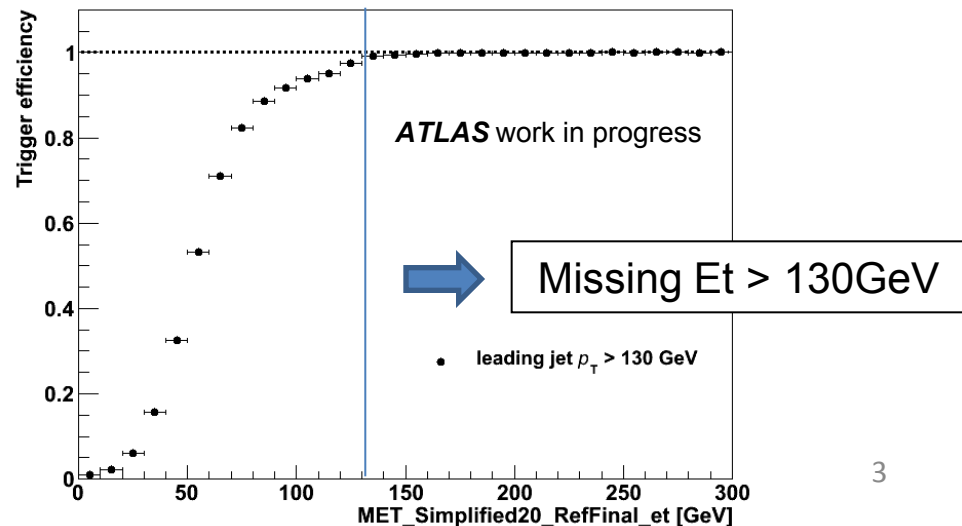
$\sim g \rightarrow t + \sim t_1$ decay diagram



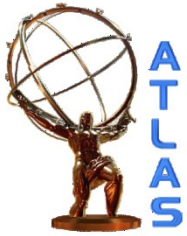
解析方針



- 2011年にLHC-ATLAS実験で取得された約 2 fb^{-1} のデータを用いて解析
- 消失エネルギーが大きく、 b -jetを含む多数のジェットを持つeventsを選択する
 - (特にmSUGRA-likeなmodelにおける)グレーイーノの崩壊から生じるスカラートップ・ボトムクォークをターゲット
 - 本講演ではleptonがないチャンネルを用いる
- Jet + Missing E_T triggerを使用
 - leading jet $p_T > 130 \text{ GeV}$ && Missing $E_T > 130 \text{ GeV}$ でefficiency $> 98\%$



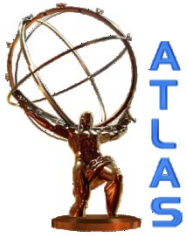
dataでのleading jet $p_T > 130 \text{ GeV}$ 後の
Missing E_T に対するtrigger efficiency



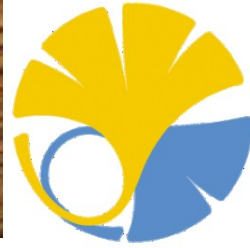
Event Selection



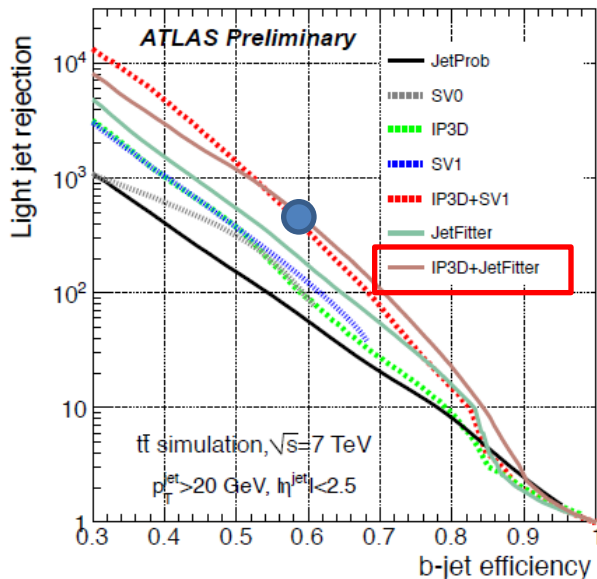
- Event Selection
 - lepton veto (electron $p_T > 20$ GeV, muon $p_T > 10$ GeV)
 - leading jet $p_T > 130$ GeV
 - Missing $E_T > 130$ GeV
 - at least 4 jet $p_T > 80$ GeV
 - b -jet ($p_T > 50$ GeV) ≥ 1
 - Missing $E_T / m_{\text{eff}} > 0.2$
 - $\min\Delta\varphi > 0.4$
 - $\Delta\varphi$ (4thjet-Missing E_T) > 0.2
 - $m_{\text{eff}} > 1$ TeV
- 変数の定義
 - $\min\Delta\varphi$: leading 3 jetとMissing E_T の間の $\Delta\varphi$ の最小値
 - m_{eff} : leading 4 jet p_T とMissing E_T のスカラー和 $m_{\text{eff}} = \sum_{i=0}^3 p_T^{(i) \text{ jet}} + E_T^{\text{miss}}$



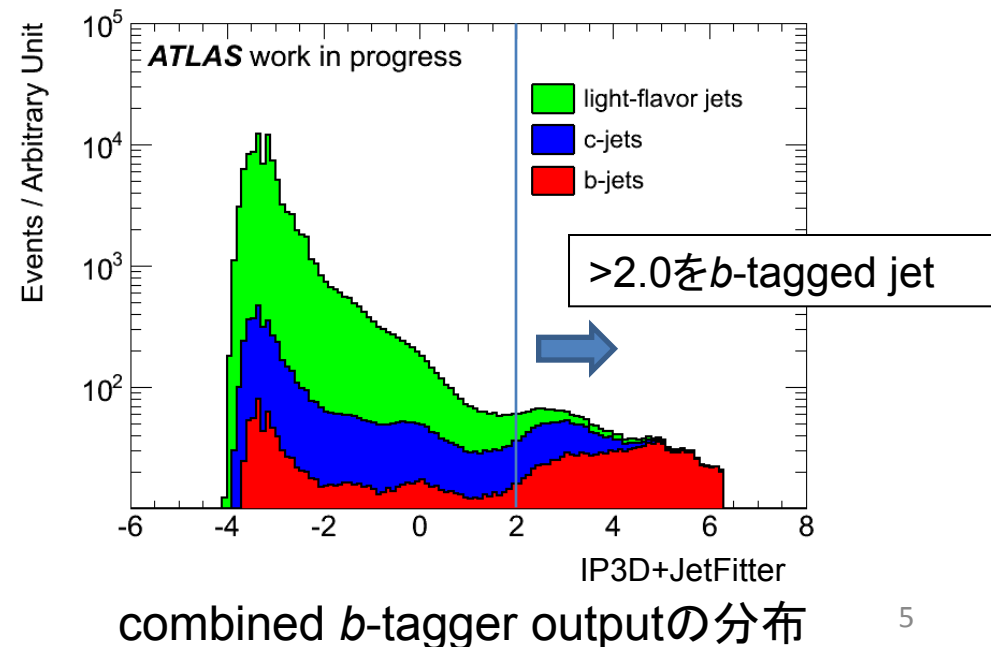
b-Tagging



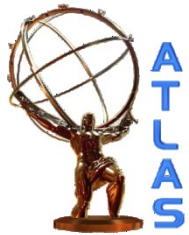
- b -jetはbottom quarkが中間子などを作つて比較的長寿命になることを利用してtagする
 - secondary vertexとimpact parameterの情報をcombineしたtagging algorithmを使用
 - b -tag efficiency~60%に対して、light jet rejection rate~350



Simulationでの b -tagger performance
ATLAS-CONF-2011-102 (2011)



combined b -tagger outputの分布



Background Estimation (1)



- top, W+jets, Z+jets
 - Monte Carlo Simulationを用いた推定

process	Generator	cross section
ttbar	MC@NLO + Herwig	165^{+11}_{-16} pb (NLO)
single top	MC@NLO + Herwig	85 ± 3 pb (NLO)
W($\rightarrow l\nu$)+jets	Alpgen + Herwig	31.4 ± 1.6 nb (NNLO)
Z/ γ^* ($\rightarrow ll$)+jets	Alpgen + Herwig	12.8 ± 0.64 nb (NNLO)
Z($\rightarrow vv$)+jets	Algepn + Herwig	5.82 ± 0.29 nb (NNLO)
SUSY	Herwig++	NLO

- Parameter依存は系統誤差として評価 (p.8にて説明)
- MCでの推定が困難なQCDは別の方で推定 (次ページ)



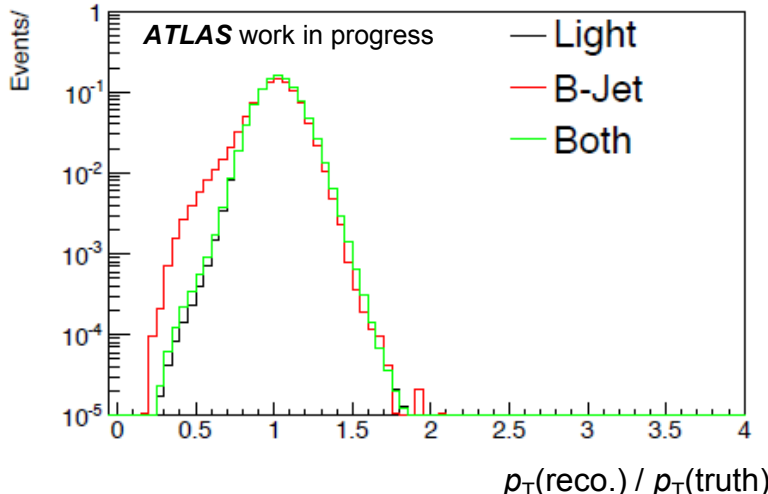
Background Estimation (2)



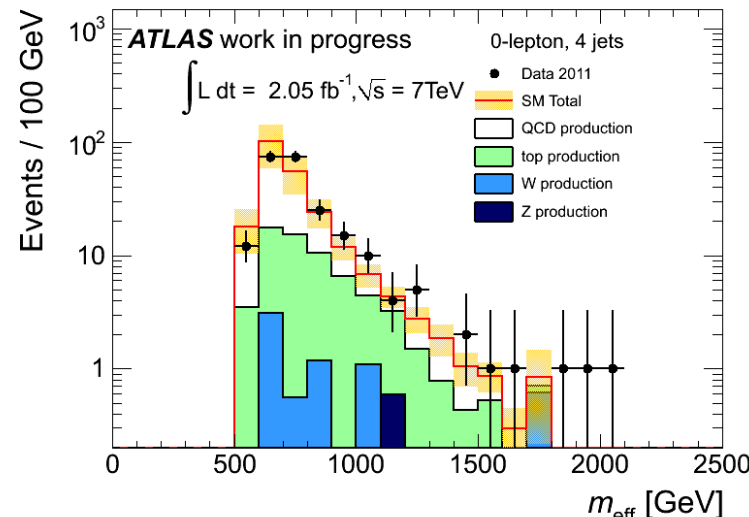
- QCD multi-jet event
 - large Missing E_T cut後に残るQCD multi-jet eventはジェットのエネルギーの測定ミス及びheavy flavor jetのleptonic decayによるもの

Smearing method

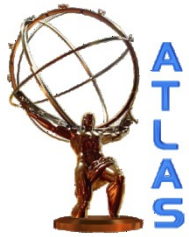
1. QCD processが主要な領域のデータを取得
2. ジェットのエネルギーをjet response functionに基づいてsmearし、擬似的なeventsを作り出す(1eventにつき10000)
3. これらに同様のevent selectionを行うことで、QCDによる寄与を推定



Jet response function:
light-flavor jetとb-jetを別に用意



QCDが主要な領域($\min\Delta\varphi < 0.4$)で m_{eff} の分布を確認



Systematic Uncertainties



- Jet : energy scale, pileup, heavy flavor
- b -tagging : efficiency, light-jet fake rate
- Luminosity
- Theory
 - ttbar : cross section, ISF/FSR variation, generator dependence (MC@NLO, POWHEG, ALPGEN), Parton shower fragmentation model (HERWIG, PYTHIA)
 - single top : cross section, use same uncertainties on ttbar
 - W/Z+jets : cross section, Renormalization/factorization scale, heavy flavor rescale
 - SUSY signals : Renormalization/factorization scale, PDF (CTEQ6.6M)

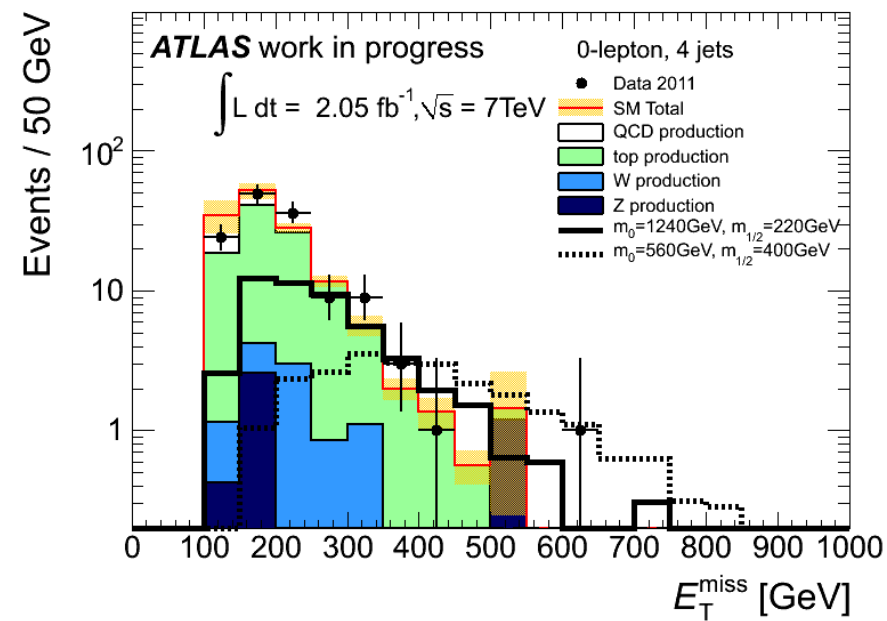
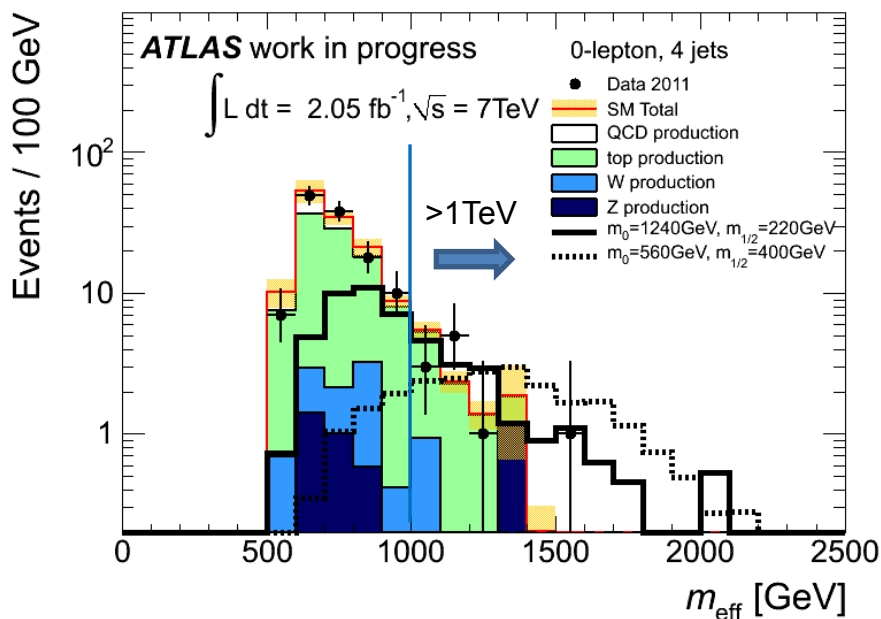
Event selection後のttbar及びSUSY signalのreference pointにおけるsystematic uncertainties

	Events(2.05fb^{-1})	Jet	b -tag	Lumi	Theory	Total
ttbar	7.7	$\pm 25\%$	$\pm 12\%$	$\pm 3.7\%$	$+33\%, -18\%$	$+43\%, -33\%$
$m_0=1240\text{GeV}, m_{1/2}=220\text{GeV}^*$	16.2	$\pm 18\%$	$\pm 10\%$	$\pm 3.7\%$	$\pm 19\%$	$\pm 28\%$
$m_0=560\text{GeV}, m_{1/2}=400\text{GeV}^*$	19.5	$\pm 7.4\%$	$\pm 7.3\%$	$\pm 3.7\%$	$\pm 31\%$	$\pm 33\%$

* mSUGRA, $\tan\beta=40$, $A_0=-500\text{GeV}$, $\mu>0$



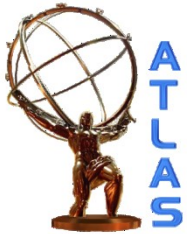
• m_{eff} cut前の分布



Expectedとobserved events

	top	W	Z	QCD	others	Total(MC)	Data(2.05fb ⁻¹)
before m_{eff} cut	93 ± 28	7.5 ± 2.0	4.2 ± 1.9	30 ± 15	0.1 ± 0.1	135 ± 32	132
$m_{\text{eff}} > 1 \text{ TeV}$	8.8 ± 3.3	1.1 ± 0.8	1.2 ± 1.2	0.3 ± 0.2	< 0.1	11.4 ± 3.7	10

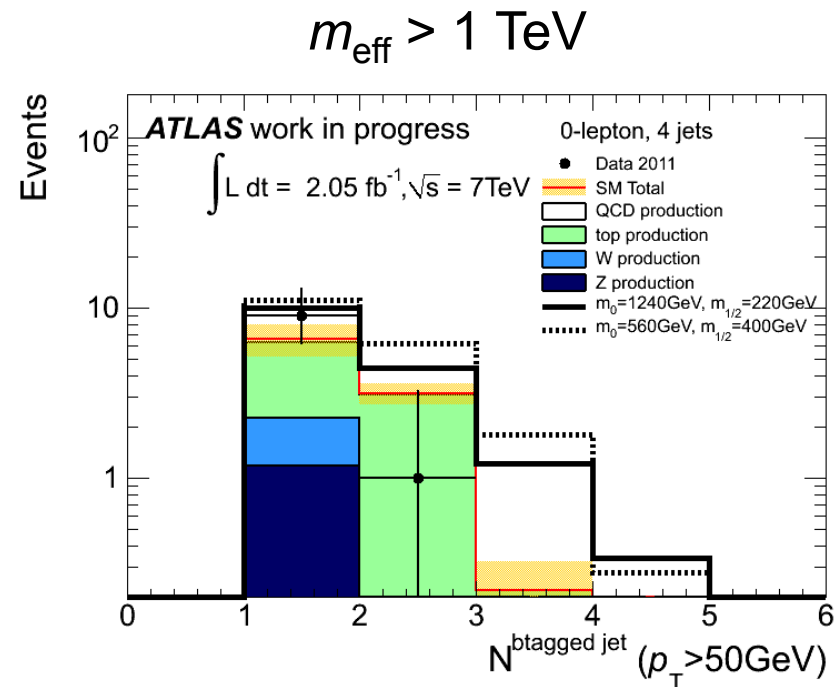
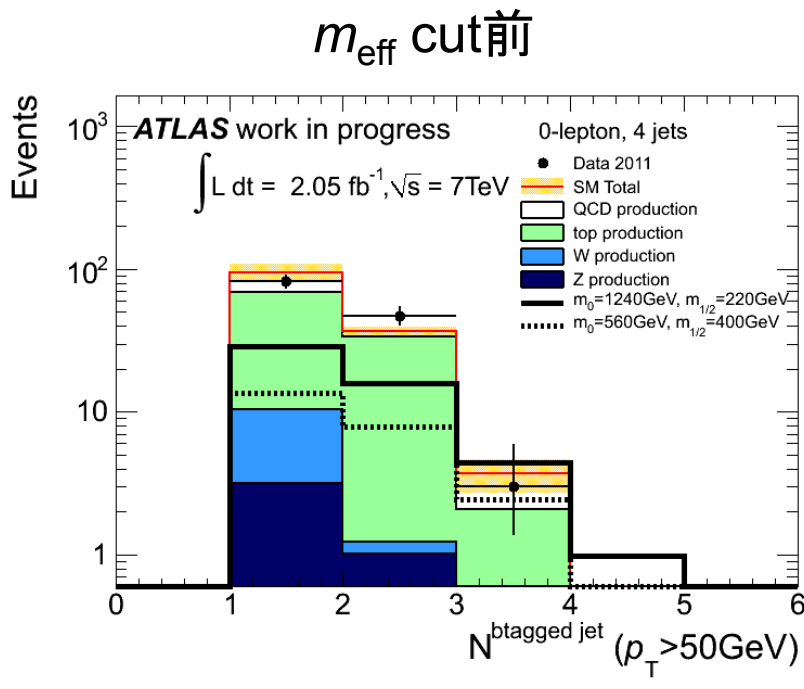
Standard Modelとconsistentな結果となった

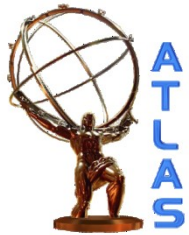


Number of b -tagged Jets



- $N^{b\text{-tagged jets}}$ と SM に consistent

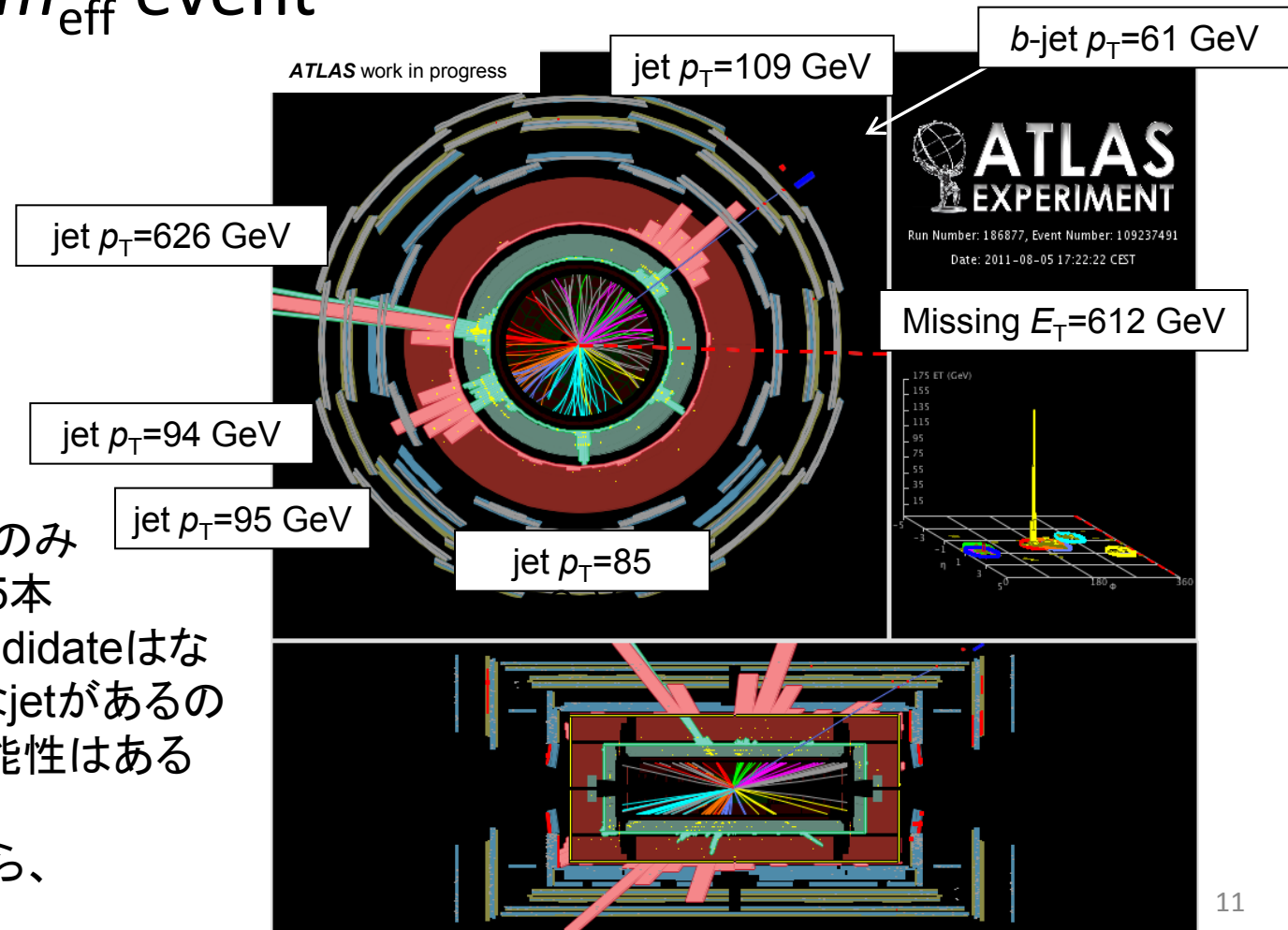




Candidate Event



- Highest m_{eff} event



- b -tagged jetは1本のみ
- $p_T > 80 \text{ GeV}$ のjetが5本
- isolated muon candidateはないが、electron-likeなjetがあるので、IDに失敗した可能性はある

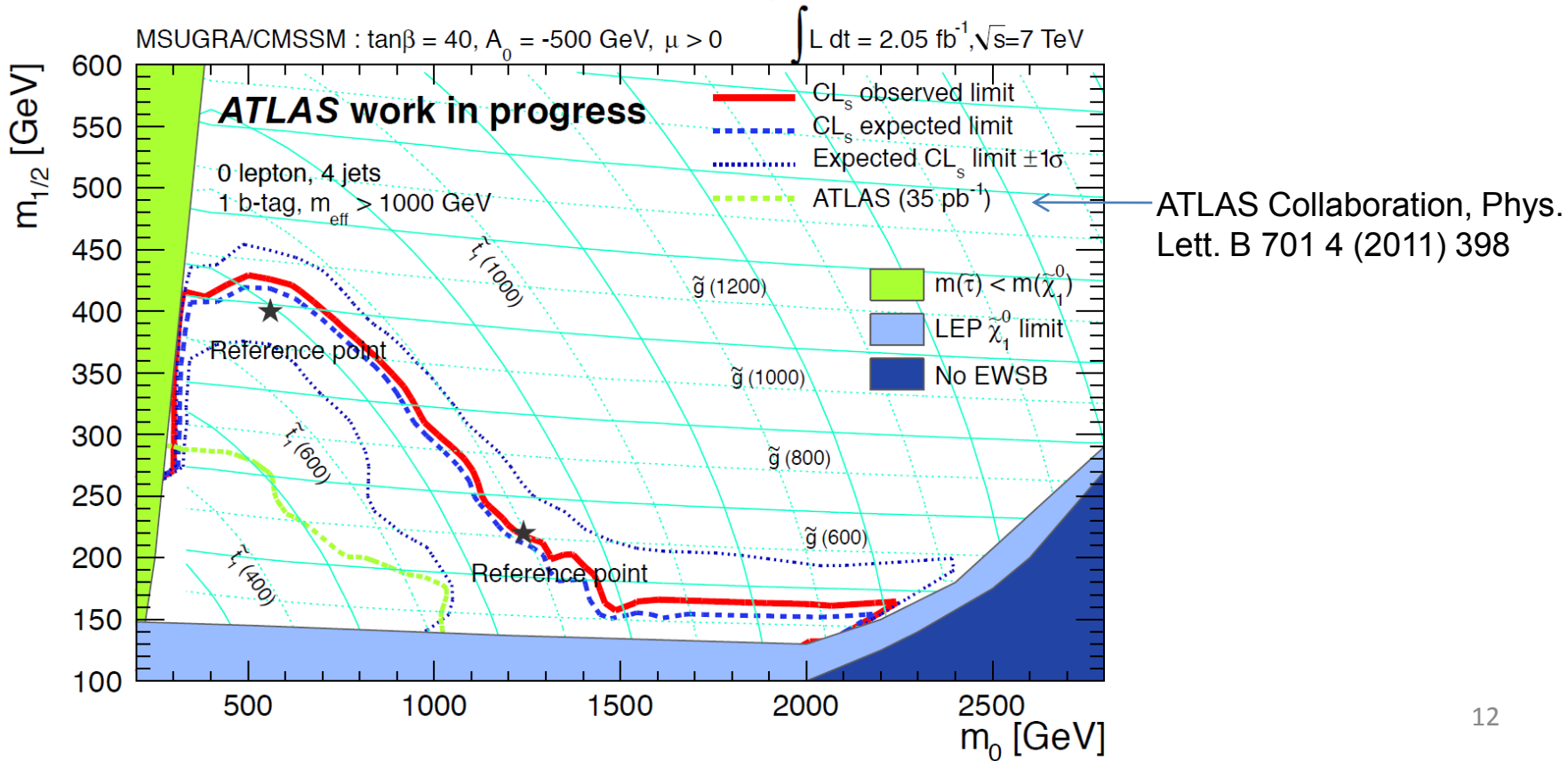
→ SMで解釈するなら、
 $W(\rightarrow e\nu) + \text{jets} + bb$

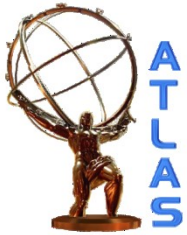


Interpretation



- mSUGRA/CMSSM ($\tan\beta=40$, $A_0=-500\text{GeV}$, $\mu>0$)に対する exclusion limitを計算
 - スカラートップ質量 $< 750\text{ GeV}$ の領域が95% CLでexcludeされた





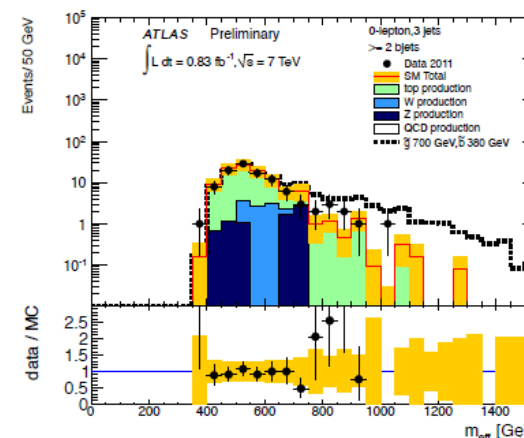
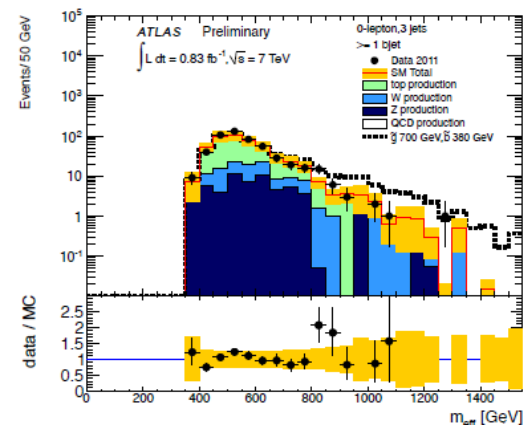
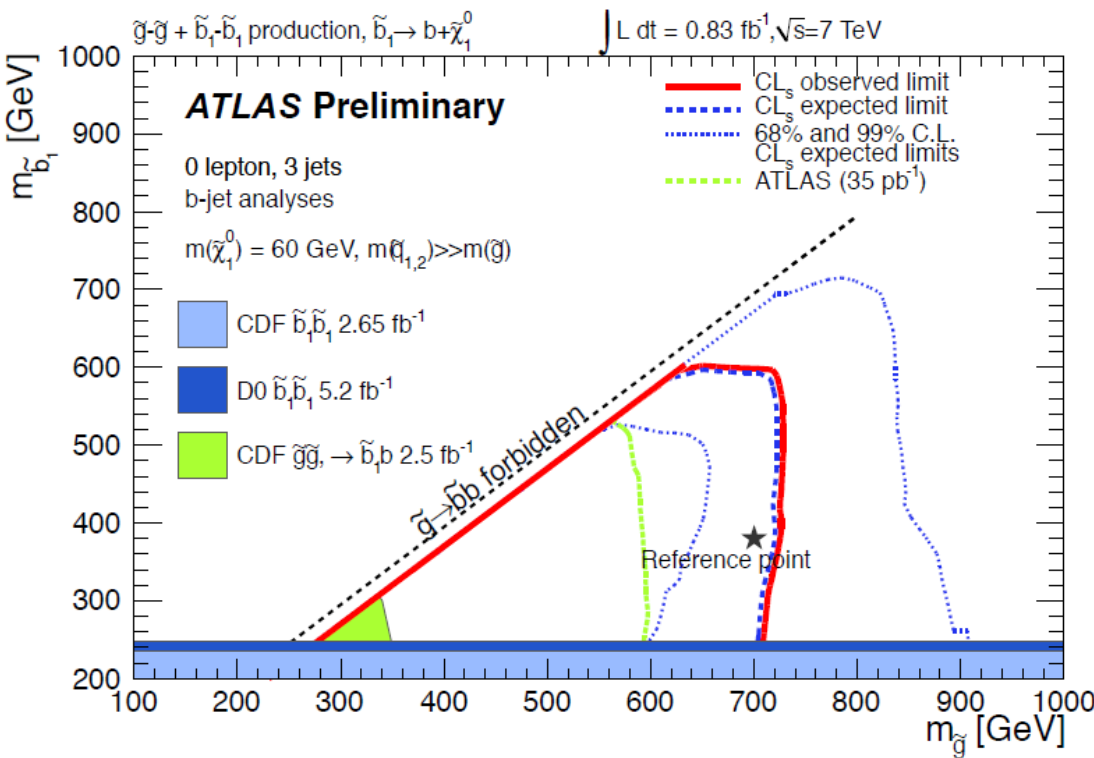
まとめと今後の展望

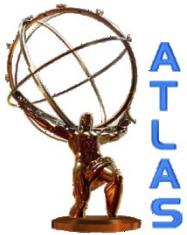


- LHC-ATLASで2011年に取得された 2 fb^{-1} のデータを用いて、スカラートップクォークの探索を行った
 - 0-lepton, 4-jet (at least 1 b -jet)を要求
- シグナルをenhanceするようevent selectionした結果、Standard Modelとconsistentなevent数が残った
 - この結果を使って、mSUGRA ($\tan\beta=40$, $A_0=-500 \text{ GeV}$, $\mu>0$)モデルにlimitを付けると、 $m(\tilde{t}_1) < 750 \text{ GeV}$ を95% CLで、exclude
- この 2 fb^{-1} のデータを使えば、スカラートップクォークの他のtopologyにおいても未知の領域での探索が十分に可能
- 特にdirect pair production searchを目的とした下記のtopologyの解析も進行中
 - 2 b -jet + Missing E_T (for \tilde{b}_1 pair production search)
 - 2-lepton + 2 jet (at least 1 b -jet) + Missing E_T (for $\tilde{t}_1 \rightarrow b+Z/h+\tilde{G}$ search)



- その他の b -jet search の結果
 - 0-lepton, 3-jet (1 or 2 b -jet) ATLAS-CONF-2011-098





Backup

- その他の b -jet search の結果
 - 1-lepton, 4-jet (1 b -jet) ATLAS-CONF-2011-130

